

01;05

## Возбуждение спиновых волн, локализованных на движущейся доменной стенке в двуслойной ферромагнитной пленке

© В.В. Рандошкин, Н.Н. Сысоев, А.А. Мاستин

Физический факультет Московского государственного университета им. М.В. Ломоносова,  
119992 Москва, Россия  
e-mail: randoshkin\_v@mail.ru

(Поступило в Редакцию 21 мая 2007 г.)

На основе уравнений Слончевского решена задача о возбуждении спиновых волн в двуслойной магнитной пленке с резкой границей между слоями. Выведены уравнения, описывающие возбуждение спиновых волн вдоль толщины пленки. Выводы ограничены нулевым приближением по параметру малости  $\varepsilon$ -отношения энергии магнитных дипольных сил к энергии анизотропии. Рассчитана мощность, рассеиваемая такими колебаниями.

PACS: 75.40.Gb

### Введение

Вопрос об излучении спиновых волн движущейся доменной стенкой (ДС) в сильноанизотропной одноосной ферромагнетике рассматривался Ходенковым [1], был найден диапазон значений внешнего магнитного поля, в котором излучение спиновых волн наиболее эффективно. Позднее этот механизм был использован для объяснения эффекта генерации микродоменов (магнитных возмущений) перед движущейся ДС в одноосных монокристаллических пленках ферритов-гранатов (МПФГ) с достаточно малым затуханием [2]. Впервые этот эффект экспериментально наблюдался авторами работ [3,4].

Генерация микродоменов в МПФГ приводит к тому, что на зависимости скорости ДС от действующего магнитного поля появляется участок с повышенной дифференциальной подвижностью [5]. Впервые аналогичный участок наблюдался в одноосных МПФГ с достаточно большим параметром затухания [6].

Таким образом, спин-волновой механизм движения ДС характеризуется локальным вращением намагниченности перед движущейся стенкой, инициируемым излучаемыми ею спиновыми волнами, что при малом затухании приводит к генерации микродоменов перед ней, а при большом — к уширению изображения ДС [7]. Заметим, что в неоднородных МПФГ локальное вращение намагниченности перед движущейся ДС начинается в слое с пониженной магнитной анизотропией [5].

В рамках спин-волнового механизма движения ДС находит объяснение и разнообразная форма динамических доменных конфигураций в МПФГ с ромбической магнитной анизотропией [8], если предположить, что и пороговое поле излучения спиновых волн, и безразмерный параметр затухания зависят от направления в плоскости пленки [9].

Возбуждение стоячих спиновых волн, локализованных на ДС в ромбическом слабом ферромагнетике, рассматривалось теоретически в работе [10]. Экспериментально исследованы трансляционные и изгибные

моды колебаний в уединенной движущейся ДС в монокристалле иттрий-железистого граната в присутствии пилообразного и переменного синусоидального полей мегагерцового диапазона [11]. В работе [12] на основе уравнений Слончевского изучены бризеры и солитоны огибающей спиновых волн, локализованных на ДС в сильноанизотропном одноосном ферромагнетике.

МПФГ обычно выращивают методом жидкофазной эпитаксии из переохлажденного раствора-расплава на подложках немагнитных гранатов [13–16]. Фундаментальной особенностью жидкофазной эпитаксии является то, что начальная стадия эпитаксиального роста является нестационарным процессом, что приводит к образованию переходного поверхностного слоя на границе раздела пленка–подложка, отличающегося по химическому составу и магнитным параметрам от основного объема пленки [14–16]. Другими словами, все реальные МПФГ являются как минимум двуслойными.

Целью данной работы является исследование возбуждения спин-волновых колебаний, локализованных на ДС в двуслойной ферромагнитной пленке с сильной одноосной магнитной анизотропией.

### Теория

Пусть ДС расположена в плоскости  $xOz$ , где  $z$  — ось легкого намагничивания. При решении задачи предполагалось, что спиновые волны возбуждаются поперек плоскости пленки, и пренебрегалось излучением спиновых волн в глубь домена. Система уравнений Слончевского, описывающих движение ДС в двуслойной пленке с резкой границей между слоями, имеет вид

$$\frac{2M_i}{\gamma_i} (\dot{q}_i - \alpha_i \Delta_i \dot{\phi}_i) = 4\pi \Delta_i M_i^2 \sin 2\varphi_i - 4\Delta_i A_i \nabla^2 \varphi_i,$$

$$\frac{2M_i}{\gamma_i} \left( \dot{\phi}_i + \frac{\alpha_i}{\Delta_i} \dot{q}_i \right) = 2M_i H + \sigma_i \nabla^2 q_i, \quad (1)$$

где  $i = 1, 2$  — номер слоя (в дальнейшем для краткости мы не будем его писать);  $M$  — намагниченность насыщения слоя;  $\gamma$  — гиромагнитное отношение

слоя;  $q = q(z)$  — смещение ДС, неоднородное по  $z$ ;  $\varphi = \varphi(z)$  — азимутальный угол выхода намагниченности в плоскости  $xOy$ ;  $\sigma$  — плотность поверхностной энергии ДС;  $\Delta$  — ширина ДС;  $\alpha$  — безразмерный параметр затухания Гильберта;  $A$  — константа обменного взаимодействия. Изменение ширины ДС по толщине пленки не учитывалось, так как оно происходит в узкой переходной области, сравнимой с шириной ДС. Предполагалось, что внешнее магнитное поле  $H \gg 2\pi M_1 \alpha_1$ ,  $H \gg 2\pi M_2 \alpha_2$ .

Систему уравнений (1) можно представить в виде

$$\begin{aligned} \frac{2M}{\gamma} \dot{\varphi}(1 + \alpha^2) &= \sigma \nabla^2 q \\ &+ 2M(H - 2\pi M \alpha \sin 2\varphi) + 4\alpha A \frac{\partial^2 \varphi}{\partial z^2}, \\ \frac{2M}{\gamma} \dot{q}(1 + \alpha^2) &= \alpha^2 \sigma \nabla^2 q + 2MH\alpha^2 - 4\alpha A \frac{\partial^2 \varphi}{\partial z^2}. \end{aligned}$$

Для области значений внешнего магнитного поля, значительно превышающих поле Уокера ( $H_{W1} \gg 2\pi M_1 \alpha_1$ ,  $H_{W2} \gg 2\pi M_2 \alpha_2$ ), решение системы уравнений (1) ищется в виде следующего ряда по параметру  $\varepsilon = 2\pi M_1 \alpha / H$ :

$$\begin{aligned} q &= q_0(z) + q_1(z, t) + \dots, \\ \varphi &= \varphi_0(z) + \varphi_1(z, t) + \dots, \end{aligned}$$

где  $q_1, \varphi_1 \sim \varepsilon$ .

В нулевом приближении решение системы уравнений (1) можно искать в виде

$$\begin{aligned} q_0 &= q_{0z}(z) + vt, \\ \varphi_0 &= \varphi_{0z}(z) + \omega t, \end{aligned} \quad (2)$$

т.е. ДС представляет собой некоторый стационарный профиль, равномерно движущийся во времени со скоростью  $v$ , угол выхода намагниченности равномерно вращается с угловой скоростью  $\omega$ .

Подставив (2) в (1), получим систему уравнений для такого движения

$$\begin{aligned} \frac{2M}{\gamma} (v - \alpha \Delta \omega) &= -4\Delta A \nabla^2 \varphi_{0z}, \\ \frac{2M}{\gamma} \left( \omega + \frac{\alpha}{\Delta} v \right) &= 2MH + \sigma \nabla^2 q_{0z}. \end{aligned} \quad (3)$$

Заметим, что  $v$  и  $\omega$  теперь зависят не только от параметров материала ( $\alpha, \gamma, \Delta$ ) и внешнего поля  $H$ , как для однородной пленки, но и от толщины слоев пленки. Тогда решение системы уравнений (3) можно искать в виде

$$\begin{aligned} q_{0z} &= \left( \frac{-MH}{\sigma} + \frac{M}{\gamma \sigma} \left( \omega + \frac{\alpha}{\Delta} v \right) \right) z^2 + Bz + C, \\ \varphi_{0z} &= \left( -\frac{M}{4\gamma \Delta A} (v - \alpha \Delta \omega) \right) z^2 + Dz + P, \end{aligned} \quad (4)$$

где  $B, C, D, P$  необходимо определить исходя из граничных условий на поверхности пленки и между слоями.

Граничные условия на свободной поверхности пленки имеют вид

$$\begin{aligned} \frac{\partial q_{0z1}}{\partial z} \Big|_{z=-h_1} &= 0, & \frac{\partial q_{0z2}}{\partial z} \Big|_{z=h_2} &= 0, \\ \frac{\partial \varphi_{0z1}}{\partial z} \Big|_{z=-h_2} &= 0, & \frac{\partial \varphi_{0z2}}{\partial z} \Big|_{z=h_2} &= 0, \end{aligned} \quad (5)$$

где третья цифра в индексе — номер слоя. Граничные условия между слоями имеют вид

$$\begin{aligned} \varphi_{0z1} \Big|_{z=0} &= \varphi_{0z2} \Big|_{z=0}, & q_{0z1} \Big|_{z=0} &= q_{0z2} \Big|_{z=0}, \\ \frac{\partial \varphi_{0z1}}{\partial z} \Big|_{z=0} &= \frac{\partial \varphi_{0z2}}{\partial z} \Big|_{z=0}, & \frac{\partial q_{0z1}}{\partial z} \Big|_{z=0} &= \frac{\partial q_{0z2}}{\partial z} \Big|_{z=0}. \end{aligned} \quad (6)$$

Решив совместно систему уравнений (4) и (5), получим выражения для неизвестных коэффициентов  $B, C, D, P, v, \omega$ . В самом общем случае выражения для скорости ДС и угловой скорости определяются системой уравнений

$$\begin{aligned} v \left( \frac{M_1 h_1 \alpha_1}{\gamma_1 \sigma_1 \Delta_1} + \frac{M_2 h_2 \alpha_2}{\gamma_2 \sigma_2 \Delta_2} \right) + \omega \left( \frac{M_1 h_1}{\gamma_1 \sigma_1} + \frac{M_2 h_2}{\gamma_2 \sigma_2} \right) \\ = H \left( \frac{M_1 h_1}{\sigma_1} + \frac{M_2 h_2}{\sigma_2} \right), \end{aligned}$$

$$v \left( \frac{M_1 h_1}{\gamma_1 A_1 \Delta_1} + \frac{M_2 h_2}{\gamma_2 A_2 \Delta_2} \right) - \omega \left( \frac{M_1 h_1 \alpha_1}{\gamma_1 A_1} + \frac{M_2 h_2 \alpha_2}{\gamma_2 A_2} \right) = 0. \quad (7)$$

Решение системы (7) довольно громоздкое, и для простоты рассмотрим случай  $A_1 = A_2, K_1 = K_2, \alpha_1 = \alpha_2$ , тогда

$$\begin{aligned} \dot{q}_0 &= \frac{H(M_1 h_1 + M_2 h_2) \Delta \alpha}{\left( \frac{M_1 h_1}{\gamma_1} + \frac{M_2 h_2}{\gamma_2} \right) (1 + \alpha^2)}, \\ \dot{\varphi}_0 &= \frac{H(M_1 h_1 + M_2 h_2)}{\left( \frac{M_1 h_1}{\gamma_1} + \frac{M_2 h_2}{\gamma_2} \right) (1 + \alpha^2)}, \end{aligned} \quad (8)$$

$$\begin{aligned} C &= \frac{H}{\sigma} \left( M_2 h_2^2 - M_1 h_1^2 \right. \\ &\left. + \frac{(M_2 h_2 + M_1 h_1)}{\left( \frac{M_1 h_1}{\gamma_1} + \frac{M_2 h_2}{\gamma_2} \right)^2} \left( \frac{M_1 h_1^2}{\gamma_1} - \frac{M_2 h_2^2}{\gamma_2} \right) \right), \end{aligned} \quad (9)$$

$$B = 0, \quad D = 0.$$

Интересно отметить, что если  $\alpha_1 = \alpha_2$ , то  $P = 0$  и  $\varphi_{0z}(z) = \text{const}$ , и можно принять  $\varphi_{0z}(z) = 0$ .

В первом приближении система уравнений (1) имеет вид

$$\begin{aligned} \frac{2M}{\gamma} (\dot{q}_1 - \alpha \Delta \dot{\varphi}_1) &= 4\pi \Delta M^2 e^{i2\varphi_0} - 4\Delta A \nabla^2 \varphi_1, \\ \frac{2M}{\gamma} \left( \dot{\varphi}_1 + \frac{\alpha}{\Delta} \dot{q}_1 \right) &= \sigma \nabla^2 q_1. \end{aligned} \quad (10)$$

Здесь принимается, что  $q_1 = q_1(z, t)$ ,  $\varphi_1 = \varphi_1(z, t)$ , и решение следует искать в виде

$$\begin{aligned} q_{1i} &= Q_{0i}(t) + Q_{1i} \cos(k_i z) e^{i\omega t}, \\ \varphi_{1i} &= F_{0i}(t) + F_{1i} \cos(k_i z) e^{i\omega t}. \end{aligned} \quad (11)$$

Подставив (11) в систему уравнений (10) и учитывая, что  $\varphi_0 = \omega t$ , получим

$$\begin{aligned} Q_{0i} &= \frac{\pi \Delta M_i \gamma_i}{\omega(1 + \alpha^2)}, \\ F_{0i} &= -\frac{\pi \alpha M_i \gamma_i}{\omega(1 + \alpha^2)} \end{aligned} \quad (12)$$

и дисперсионное соотношение:

$$\omega = \frac{k^2 A \gamma}{M(1 - i\alpha)}. \quad (13)$$

Для определения  $Q_{1i}$ ,  $F_{1i}$  подставим (11) в (5) и (6) и решим систему получившихся уравнений относительно  $Q_{1i}$ ,  $F_{1i}$ , тогда

$$\begin{aligned} Q_{11} &= \frac{(Q_2 - Q_1)k_2 \sin(k_2 h_2)}{R}, \\ F_{11} &= \frac{(F_2 - F_1)k_2 \sin(k_2 h_2)}{R}, \\ Q_{12} &= \frac{(Q_1 - Q_2)k_1 \sin(k_1 h_1)}{R}, \\ F_{12} &= \frac{(F_1 - F_2)k_1 \sin(k_1 h_1)}{R}, \end{aligned} \quad (14)$$

где

$$R = k_2 \sin(k_2 h_2) \cos(k_1 h_1) + k_1 \sin(k_1 h_1) \cos(k_2 h_2).$$

Мощность, рассеиваемая спин-волновыми колебаниями, рассчитывалась на основе выражения для диссипативной функции [1]:

$$P(z, t) = \frac{M\alpha}{\gamma} \left( \frac{\dot{q}(z, t)^2}{\Delta} + \dot{\varphi}(z, t)\Delta \right). \quad (15)$$

Проинтегрировав это выражение по толщине, периоду колебаний и усреднив по времени, можно получить выражение для средней мощности, рассеиваемой пленкой в единицу времени и в единицу объема. Тогда выражение для мощности, рассеиваемой каждым слоем, имеет вид

$$\begin{aligned} P &= \frac{M\alpha\omega^2}{\gamma\Delta} \left( |Q|^2 + \frac{|Q_1|^2}{4h} \left( \frac{\sin 2k_r h}{k_r} + \frac{\text{sh } 2k_i h}{k_i} \right) \right. \\ &+ \frac{2(Q_r Q_{1r} + Q_i Q_{1i})(k_r \sin(k_r h) \text{ch}(k_i h) + k_i \cos(k_r h) \text{sh}(k_i h))}{h(k_r^2 + k_i^2)} \\ &\left. + \frac{2(Q_r Q_{1i} + Q_i Q_{1r})(k_i \sin(k_r h) \text{ch}(k_i h) - k_r \cos(k_r h) \text{sh}(k_i h))}{h(k_r^2 + k_i^2)} \right), \end{aligned} \quad (16)$$

где  $k_r$ ,  $k_i$  — реальная и мнимая части волнового вектора;  $Q_r$ ,  $Q_i$ ,  $Q_{1r}$ ,  $Q_{1i}$  — реальные и мнимые части амплитуд соответственно однородной и неоднородной составляющих колебания.

## Результаты и обсуждение

С использованием полученных соотношений рассчитывались спектры спин-волнового резонанса, возбуждаемые в двуслойной пленке движением ДС под действием внешнего постоянного магнитного поля. Полагалось, что слои пленок отличаются значениями либо намагниченности насыщения, либо гиромагнитного отношения (см. таблицу). Остальные параметры слоев следующие:  $\alpha = 0.03$ ,  $A = 3.7 \text{ pJ/m}$ ,  $h = 4.0 \mu\text{m}$ ,  $K = 1000 \text{ J/m}^3$ ,  $\Delta = 0.06 \mu\text{m}$  и  $H_{W1} = 0.75 \text{ Oe}$ . Мощность нормировалась на ее значение для самого интенсивного пика.

Параметры пленок

Параметр	Пленка № 1		Пленка № 3	
	слой 1	слой 2	слой 1	слой 2
$4\pi M, \text{kA/m}$	4.0	8.0	4.0	4.0
$\gamma, \text{MHz} \cdot \text{m/A}$	0.22	0.22	0.22	0.24
Параметр	Пленка № 2		Пленка № 4	
	слой 1	слой 2	слой 1	слой 2
$4\pi M, \text{kA/m}$	4.0	9.5	4.0	4.0
$\gamma, \text{MHz} \cdot \text{m/A}$	0.22	0.22	0.22	0.33

На рис. 1 приведена зависимость мощности  $P$ , рассеиваемой пленками № 1 и 2, от внешнего магнитного поля  $H$ . Видно, что в обоих случаях мощность немонотонно зависит от номера моды  $n$ . Для каждой серии пиков на рис. 1 можно выделить чередующиеся подсерии четных и нечетных мод. Первый пик в серии — первая нечетная мода, затем идет первая четная и так далее. Интенсивность нечетных мод сначала уменьшается с номером моды, но после пятой нечетной моды для пленки № 1 и третьей нечетной для пленки 2 она начинает возрастать. С увеличением номера моды эта закономерность повторяется. В подсерии четных мод минимум зависимости  $P(n)$  совпадает с ее максимумом в подсерии нечетных мод.

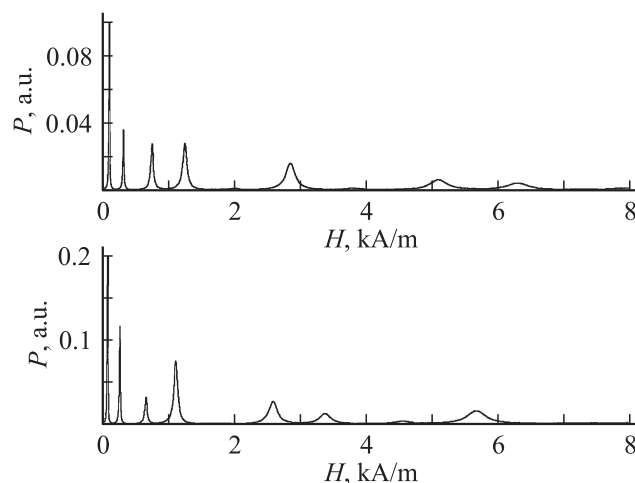


Рис. 1. Зависимость поглощаемой мощности ДС  $P$  от продвигающего поля  $H$  для пленок № 1 (вверху) и 2 (внизу).

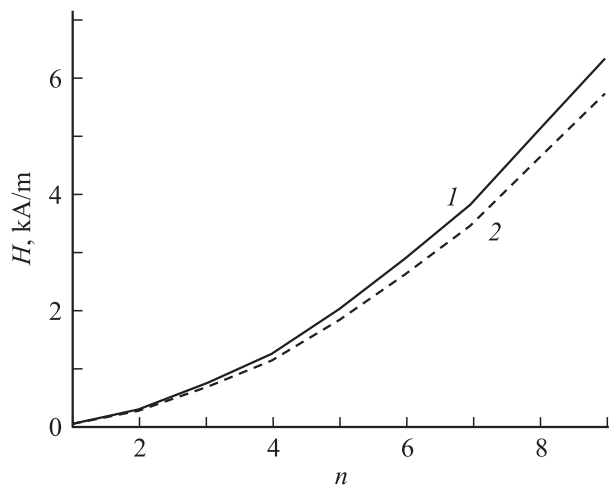


Рис. 2. Зависимость резонансного поля  $H$  от номера моды  $n$  для пленок № 1 (1) и 2 (2).

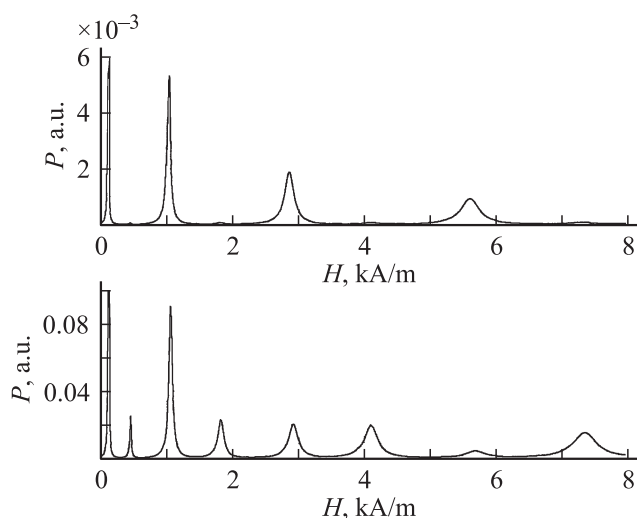


Рис. 3. Зависимость поглощаемой мощности ДС  $P$  от продвигающего поля  $H$  для пленок № 3 (вверху) и 4 (внизу).

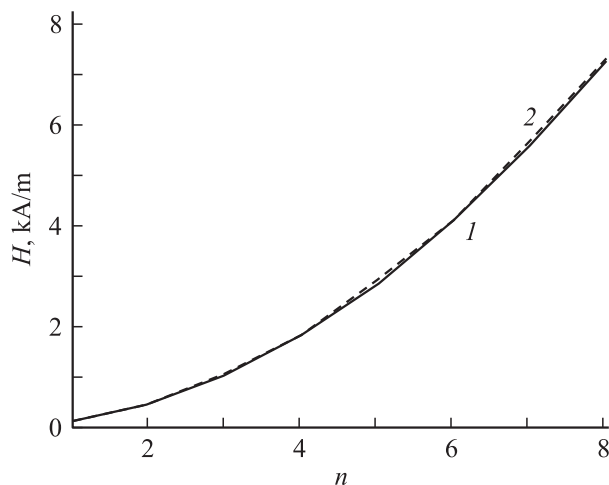


Рис. 4. Зависимость резонансного поля  $H$  от номера моды  $n$  для пленок № 3 (1) и 4 (2).

На рис. 2 приведены дисперсионные кривые для зависимостей  $P(H)$ , показанных на рис. 1. Зависимость под номером 1 соответствует верхнему рисунку, под номером 2 — нижнему. Из рис. 2 видно, что увеличение намагниченности насыщения второго слоя пленки приводит к уменьшению резонансных полей мод.

На рис. 3 приведены зависимости  $P(H)$  для пленок № 3 и 4. Из рис. 3 видно, что возбуждается в основном нечетная подсерия мод, а интенсивность четных мод слабо зависит от их номера. Увеличение  $\gamma$  во втором слое приводит к росту интенсивности как четных, так и нечетных мод и практически не влияет на дисперсионную кривую (рис. 4).

## Выводы

Проведен теоретический расчет спектров локализованных спиновых волн на движущейся ДС в двуслойных пленках одноосных сильноанизотропных ферромагнетиков. Получены уравнения, описывающие спин-волновые колебания движущейся ДС в первом порядке по малому параметру  $\epsilon$  (отношению поля Уокера к внешнему магнитному полю). Получены зависимости мощности, рассеиваемой спин-волновыми колебаниями, от внешнего магнитного поля при различных параметрах слоев пленки. Обнаруженные высокочастотные резонансы колебаний ДС могут использоваться для магнитооптической модуляции света в гигагерцовом диапазоне.

## Список литературы

- [1] Ходенков Г.Е. // ФММ. 1975. Т. 39. № 3. С. 466.
- [2] Рандошкин В.В., Сигачев В.Б. // ФТТ. 1986. Т. 28. № 5. С. 1522.
- [3] Иванов Л.П., Логгинов А.С., Непокойчицкий Г.С. Препринт физ. фак-та МГУ. 1982. № 4/1982. 5 с.
- [4] Иванов Л.П., Логгинов А.С., Непокойчицкий Г.С. // ЖЭТФ. 1983. Т. 84. Вып. 3. С. 1006.
- [5] Логунов М.В., Рандошкин В.В. // ЖТФ. 1988. Т. 58. Вып. 6. С. 1237.
- [6] Телеснин Р.В., Рандошкин В.В., Зимачева С.М. // ФТТ. 1977. Т. 19. № 3. С. 907.
- [7] Рандошкин В.В. // ФТТ. 1995. Т. 37. № 10. С. 3056.
- [8] Рандошкин В.В. // ФТТ. 1997. Т. 39. № 8. С. 1421.
- [9] Рандошкин В.В. // Письма в ЖТФ. 1995. Т. 21. Вып. 23. С. 74.
- [10] Звездин А.К., Попков А.Ф. // Письма в ЖЭТФ. 1984. Т. 39. Вып. 8. С. 348.
- [11] Сыногач В.Т. // Письма в ЖЭТФ. 1991. Т. 53. Вып. 7. С. 369.
- [12] Попков А.Ф. // Письма в ЖЭТФ. Т. 54. Вып. 2. С. 97.
- [13] Элементы и устройства на цилиндрических магнитных доменах. Справочник / Под ред. Н.Н. Евтихиева, Б.Н. Наумова. М.: Радио и связь, 1987. 488 с.
- [14] Рандошкин В.В., Червоненкис А.Я. Прикладная магнитооптика. М.: Энергоатомиздат, 1990. 320 с.
- [15] Грошенко Н.А., Прохоров А.М., Рандошкин В.В., Тимошечкин М.И., Шапошников А.Н., Ширков А.В., Степанов Ю.И. // ФТТ. 1985. Т. 27. № 6. С. 1712.
- [16] Грошенко Н.А., Рандошкин В.В., Шапошников А.Н., Ширков А.В. // ЖТФ. 1986. Т. 56. Вып. 5. С. 935.